Лекция 10 Уравнение Шредингера для атома водорода в общем случае

- 1 Решение уравнения Шредингера для атома водорода в общем случае.
- 2 Радиальное и угловое распределения электрона в атоме
- 3 Квантование момента импульса и проекции момента импульса электрона; пространственное квантование
 - 4 Квантовые числа как параметры функции состояния

Рассмотрим решение уравнения Шредингера для водородоподобной системы

$$\left(\Delta_r + \frac{1}{r^2}\hat{\Lambda}\right)\Psi - k^2\Psi + \frac{\beta}{r}\Psi = 0$$
 (10.1)

в общем случае.

Уравнение (10.1) решим методом разделения переменных, для чего собственную функцию представим в виде:

$$\Psi(r,\theta,\varphi) = R(r)Y(\theta,\varphi). \tag{10.2}$$

После разделения переменных уравнение (10.1) распадается на два – для радиальной R(r) и угловой $Y(\theta, \varphi)$ функций соответственно:

$$\frac{1}{r^2} \frac{d}{dr} \left[r \frac{dR(r)}{dr} \right] + \left(k^2 - \frac{\lambda}{r^2} \right) R(r) = 0; \tag{10.3}$$

$$\hat{\Lambda}Y(\theta,\varphi) = \lambda Y(\theta,\varphi), \qquad (10.4)$$

где λ — постоянная разделения. Явный вид оператора $\hat{\Lambda}$ представлен формулой (6.22).

Проанализируем решение уравнения (10.4). Заметим, что (10.4) не содержит потенциальной энергии U(r), следовательно, результаты его решения имеют универсальный характер и могут быть использованы для описания поведения частицы в любом сферически симметричном поле.

Уравнение (10.4) также решаем методом разделения переменных. Полагая

$$Y(\theta, \varphi) = \Theta(\theta)\Phi(\varphi), \tag{10.5}$$

и, считая постоянную разделения переменных равной m_l^2 , для функций $\Theta(\theta)$ и $\Phi(\varphi)$ получаем следующие уравнения:

$$\frac{d^2\Phi}{d\varphi^2} + m_l^2\Phi = 0,$$
 (10.6)

$$\frac{1}{\sin\theta} \frac{d}{d\theta} \sin\theta \frac{d\Theta}{d\theta} + \lambda \frac{m_l^2}{\sin^2\theta} \Theta = 0.$$
 (10.5)

Общее решение уравнения (10.6) имеет вид:

$$\Phi(\varphi) = Ae^{i|m_l|\varphi} + Be^{-i|m_l|\varphi}.$$

Удовлетворяя требованию однозначности и производя нормировку, получим $\Phi(\varphi)$ в следующем виде:

$$\Phi(\varphi) = \frac{1}{\sqrt{2\pi}} e^{im_l \varphi}, \qquad m_l = 0, \pm 1, \pm 2, \dots$$
 (10.6)

Отметим, что решение (10.6) полностью совпадает с собственной функцией оператора \hat{L}_z (смотри (6.17), (6.18)).

Для решения уравнения (10.5) введем новую переменную $\xi = \cos\theta$, после чего вместо (10.5) получим уравнение

$$\frac{d}{d\xi} \left[\left(1 - \xi^2 \right) \frac{d\Theta}{d\xi} \right] + \left[\lambda - \frac{m_l^2}{1 - \xi^2} \right] \Theta = 0. \tag{10.7}$$

В математической физике показано, что функция $\Theta(\cos\theta)$ удовлетворяет требованию непрерывности и конечности только при условии 1

$$\lambda = l(l+1), \tag{10.8}$$

где $l = 0, 1, 2, \dots$

Решение уравнения (10.7) представляет собой, с точностью до нормирующего множителя, присоединенные полиномы Лежандра

$$\Theta(\theta) = P_{I}^{m_{I}}(\cos\theta). \tag{10.9}$$

При заданном значении l число m_l может принимать 2l+1 различных значений:

$$m_l = 0, \pm 1, \pm 2 \dots \pm l.$$
 (10.10)

С учетом (10.6) и (10.9) угловая функция $Y_{lm_l}(\theta, \varphi)$ после нормировки имеет вид:

$$Y_{l}^{m_{l}}(\theta,\varphi) = \sqrt{\frac{(l - m_{l})!}{(l + m_{l})!}} \frac{2l + 1}{4\pi} P_{l}^{m_{l}}(\cos\theta) e^{im_{l}\varphi}.$$
 (10.11)

Как видно в (10.11), угловая функция определяется квантовыми числами l=0,1,2,... и $m_l=0,\pm 1,\pm 2...\pm l$ как параметрами.

Займёмся теперь анализом и решением уравнения (10.3). С учетом (9.4) и (10.8) оно принимает вид:

$$\frac{1}{r^2} \frac{d}{dr} \left(r^2 \frac{dR}{dr} \right) + \frac{2m}{\hbar^2} \left| E + \gamma \frac{Ze^2}{r} - \frac{\hbar^2 l(l+1)}{2mr^2} \right| R = 0$$
 (10.12)

или

$$\frac{d^2R}{dr^2} + \frac{2}{r}\frac{dR}{dr} + \frac{2m}{\hbar^2} \left[E + \gamma \frac{Ze^2}{r} - \frac{\hbar^2 l(l+1)}{2mr^2} \right] R = 0.$$
 (10.13)

 $^{^1}$ Тихонов, А.Н. Уравнения математической физики / А.Н. Тихонов, А.А. Самарский. – М.: Наука, 1977. – 742 с.

Величина $U_l(r) = -\gamma \frac{Ze^2}{r} + \frac{\hbar^2 l(l+1)}{2mr^2}$ имеет смысл эффективной потенциальной энергии электрона. Здесь первое слагаемое описывает кулоновское взаимодействие электрона и ядра. Добавка $\frac{\hbar^2 l(l+1)}{2mr^2} = \frac{\left|\vec{L}\right|^2}{2mr^2}$ обусловлена наличием момента импульса \vec{L} у движущегося относительно ядра электрона.

Зависимость функции $U_l(r)$ и каждого ее слагаемого проанализируем, воспользовавшись их графическим изображением (рисунок 10.1).

Как видно на рисунке 10.1, при больших расстояниях r в $U_l(r)$ преобладает энергия кулоновского притяжения, при малых r — энергия, обусловленная центробежными силами. При энергии электрона E < 0 его движение происходит в области пространства, ограниченной с обеих сторон потенциальными барьерами (финитное движение). При E > 0 барьер справа (при $r \rightarrow \infty$) отсутствует, то есть электрон ничем не удерживается вблизи ядра, и его движение становится свободным (инфинитным).

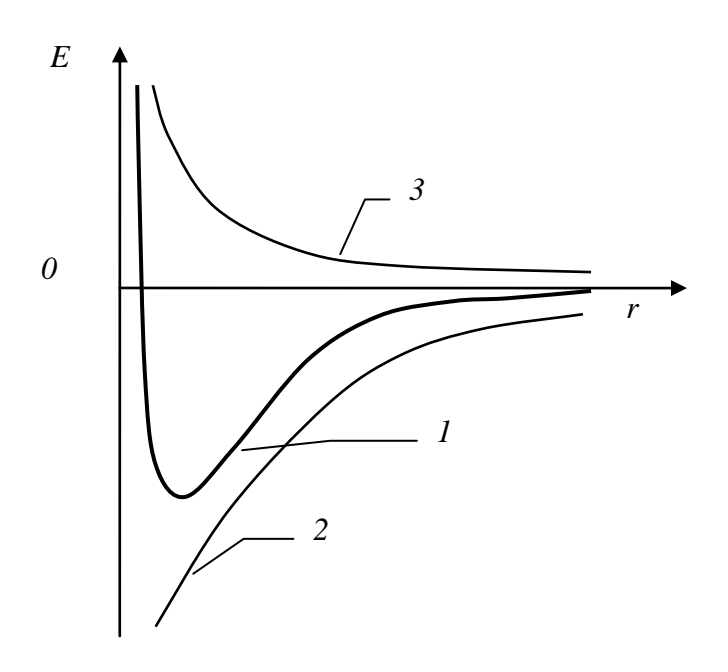


Рисунок 10.1 – Зависимость эффективной потенциальной энергии $U_l(r)$ (1), ее кулоновской (2) и центробежной (3) составляющих от расстояния между электроном и ядром

Уравнение для радиальной составляющей собственной функции (10.13) будем решать по той же логической схеме, что и в рассмотренном выше частном случае (смотри лекцию 9). Решение будем искать в виде

$$R(r) = \frac{1}{r} e^{-kr} \sum_{p} a_{p} r^{p} . {10.14}$$

Подставляя выражение (10.14) в уравнение (10.13) и выполняя несложные преобразования, получим:

$$\sum_{p} p(p-1)a_{p}r^{p-2} - 2\kappa \sum_{p} pa_{p}r^{p-1} + \beta \sum_{p} a_{p}r^{p-1} - l(l+1)\sum_{p} a_{p}r^{p-2} = 0.$$
(10.15)

Определим пределы суммирования ряда (10.15), удовлетворяющие физическому смыслу функции R(r). Обозначим $p_{\min} = \eta$ и запишем сумму коэффициентов при минимальной степени r в многочлене (10.15), то есть при r^{p-2} . Получим:

$$\eta(\eta-1)-l(l+1)=0$$
.

Это уравнение имеет два решения:

$$\eta_1 = -l;$$
 $\eta_2 = l+1.$

Проанализируем функцию R(r) при η_1 и η_2 (смотри (10.14)).

Выбирая $p_{\min} = \eta_{\scriptscriptstyle \rm I} = l$, получим:

$$R(r) = \frac{1}{r}e^{-\kappa r} \left[a_{-l}r^{-l} + a_{-l+1}r^{-l+1} + \dots \right].$$

Так как $l \ge 0$, то при $r \to 0$ функция $R(r) \to \infty$ за счет первого члена ряда. Следовательно, решение $\eta_1 = -l$ не удовлетворяет физическому смыслу волновой функции и должно быть отброшено. Остается

$$p_{\min} = \eta_2 = l + 1. \tag{10.16}$$

Вернемся к уравнению (10.15) и запишем сумму коэффициентов при r^{n-1} .

$$(n+1)na_{n+1} - 2\kappa na_n + \beta a_n - l(l+1)a_n = 0.$$
 (10.17)

Из (10.17) следует:

$$a_{n+1} = a_n \frac{2\kappa n - \beta}{n(n+1) - l(l+1)}. (10.18)$$

Выражение (10.18) — это рекуррентная формула для коэффициентов используемого ряда. Исследуя поведение ряда при $n \to \infty$, видим: как и в рассмотренном выше частном случае, сумму ряда необходимо обрывать на некотором n-ом члене, чтобы удовлетворить требованию конечности собственной функции во всей области изменения координаты r.

Тогда имеющая физический смысл радиальная функция запишется в виде:

$$R_{nl}(r) = \frac{1}{r} e^{-\kappa_n r} \sum_{p=l+1}^{n} a_p r^p, \qquad (10.19)$$

где κ_n определяется из уравнения (9.18):

$$\kappa_n = \frac{\beta}{2n}.\tag{10.20}$$

Принимая во внимание (9.4) и (9.5), приходим к выводу, что (10.20) определяет возможные значения энергии

$$E_n = -\gamma^2 \frac{m_e Z^2 e^4}{2\hbar^2} \frac{1}{n^2},\tag{10.21}$$

при которых радиальная функция имеет вид (10.19).

Выражение (10.21) определяет дискретный спектр энергии для электрона в водородоподобном атоме и полностью совпадает с формулой квантования энергии, полученной в частном случае.

Как следует из выражения (10.19), число n, называемое главным квантовым числом, определяет максимальное значение числа p:

$$p_{\text{max}} = n = l_{\text{max}} + 1.$$

Тогда имеем:

$$l_{\text{max}} = n - 1$$
,

то есть при заданном значении главного квантового числа n орбитальное квантовое число l может принимать следующие значения:

$$l = 0, 1, 2, ..., n-1.$$
 (10.22)

Собственная функция электрона, входящего в состав водородоподобного атома, как следует из (10.2), (10.11) и (10.19), определяется выражением

$$\Psi_{nlm_l}(r,\theta,\varphi) = R_{nl}(r)Y_l^{m_l}(\theta,\varphi)$$

и зависит от квантовых чисел n, l и m_l как от параметров.

Например, при $n=2,\ l=1,\ m_l=-1$ функцию состояния представим формулой $\Psi_{2,1,-1}(r,\theta,\varphi)=R_{2,1}(r)Y_1^{-1}(\theta,\varphi)$; при этом энергия электрона в водородоподобной системе $E_2=-\gamma^2\,\frac{m_eZ^2e^4}{2\hbar^2}\cdot\frac{1}{2^2}$; модуль его орбитального момента импульса $\left|\vec{L}\right|=\hbar\sqrt{l(l+1)}=\hbar\sqrt{1(1+1)}=\hbar\sqrt{2}$; проекция орбитального момента импульса электрона на физически выделенное в пространстве направление $\left(\vec{L}\right)_z=\hbar m_l=-1\cdot\hbar=-\hbar$.

При заданном значении n (то есть при заданном уровне энергии E_n) квантовые числа l и m_l могут принимать различные значения (формулы (10.10) и (10.22)), чему соответствуют различные Ψ -функции. Явление соответствия одному энергетическому уровню нескольких различных состояний называется вырождением. Число g различных Ψ -функций, соответствующих данному энергетическому уровню, называется степенью (или кратностью) вырождения (статистическим весом) уровня.

Определим степень вырождения n-го энергетического уровня. При заданном значении орбитального квантового числа l имеем 2l+1 различных значений магнитного квантового числа m_l (см. формулу (10.10)). Тогда количество различных Ψ -функций, соответствующих различным значениям l и m_l при заданном n, то есть степень вырождения n-го уровня определяется следующим образом:

$$g = \sum_{l=0}^{n-1} (2l+1) = n^2$$
.

Если учесть возможность двух различных значений проекции спинового момента электрона ($s_z = \pm (1/2)\hbar$), то степень вырождения n-го уровня станет равной

$$g=2n^2$$
.

Вероятность dW обнаружения в малом объеме dV электрона, находящегося в состоянии с заданными энергией (n), орбитальными механическим и магнитным моментами (l) и их проекциями на выделенное направление (m_l) определяется квадратом модуля волновой функции $\Psi_{nlm_l}(r,\theta,\varphi)$:

$$dW = \left| \Psi_{nlm}(r, \theta, \varphi) \right|^2 dV.$$

С учетом (10.2) и (10.5), плотность этой вероятности имеет вид:

$$w_{nlm_l} = \frac{dW_{nlm_l}}{dV} = |R(r)|^2 |\Theta(\theta)|^2 |\Phi(\varphi)|^2.$$
 (10.23)

Проиллюстрируем полученные результаты графически. Сначала рассмотрим угловое распределение плотности вероятности обнаружения электрона в атоме.

$$w_{lm_l} = \frac{dW_{lm_l}(\theta, \varphi)}{d\Omega} = \left| Y_l^{m_l}(\theta, \varphi) \right|^2 = \left| \Theta(\theta) \right|^2 \left| \Phi(\varphi) \right|^2. \quad (10.24)$$

Так как $|\Phi(\varphi)|^2 = const$, то это распределение плотности вероятности является аксиально симметричным. Графически его можно изобразить на плоскости (z,x), откладывая w_{lm_l} вдоль радиус-вектора в направлении угла θ . На рисунке 10.2 представлено распределение плотности вероятности w_{lm_l} при l=0,1,2.

Элементарная вероятность обнаружения электрона в тонком шаровом слое в пределах от r до r+dr определится путем интегрирования (10.23) по всей области изменения переменных θ и φ с учетом нормировки сферических функций $Y_{lm_l}(\theta,\varphi)$ на единицу:

$$dW_{nl}(r) = R_{nl}^{2}(r)r^{2}dr \int \left| Y_{l}^{m_{l}} \right|^{2} d\Omega = R_{nl}^{2}(r)r^{2}dr.$$

Соответственно, плотность этой вероятности

$$w_{nl} = \frac{dW_n(r)}{dr} = R_{nl}^2(r)r^2.$$
 (10.25)

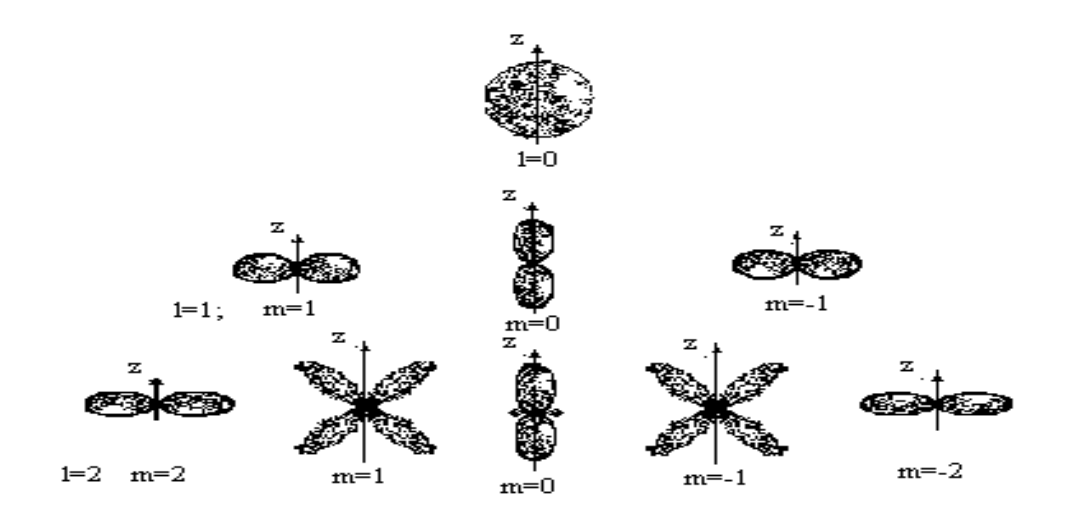


Рисунок 10.2 – Угловое распределение плотности вероятности обнаружения электрона

На рисунке 10.3 функция (10.25) представлена графически при n=1 и n=2.

В поведении кривых (10.25) наблюдаются следующие особенности:

- 1) площади под всеми кривыми, в соответствии с условием нормировки Ψ -функции, одинаковы и равны 1;
- 2) волновые функции при малых r изменяются как степенные (то есть $w_{nl} \sim (r/r_0)^{2(l+1)}$); при больших r убывают экспоненциально $(w_{lm} \sim \exp[-2r/(nr_0)])$;
- 3) число узлов (точек, в которых $R_{nl}(r) = 0$) определяется радиальным квантовым числом $n_r = n (l+1)$. Обязательный узел в начале координат не учитывается;
- 4) для состояний с *максимальным возможным* l=n-1 максимумы функций (10.25) приходятся на расстояния, совпадающие с радиусами круговых орбит $r_n=n^2r_0$, вычисляемых в теории Бора.

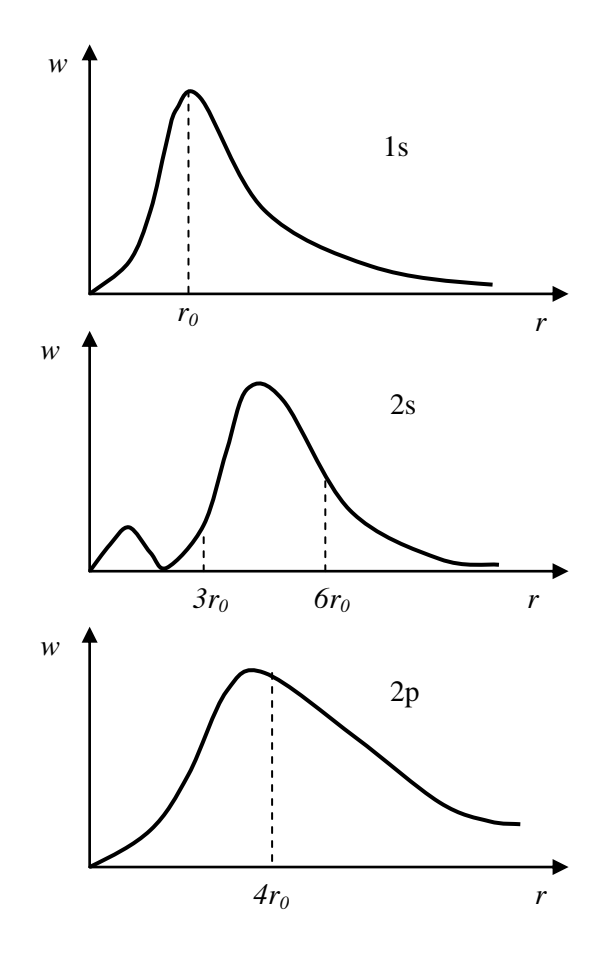


Рисунок 10.3 – Радиальное распределение плотности вероятности обнаружения электрона на расстоянии r от ядра

Таким образом, при квантово-механическом описании движения электрона в водородоподобном атоме на основе знания Ψ -функции и постулатов квантовой механики можно определить динамические переменные электрона в каждом из его состояний.

Сравнивая результаты, полученные при квантово-механическом описании атома водорода, с информацией о состоянии электрона, содержащейся в теории Бора, заметим следующее:

- при любых значениях орбитального квантового числа l, возможных при заданном n, значения энергии, полученные при квантовомеханическом описании, совпадают с теми, которые определяются в соответствии с теорией Бора;
- только при $l=l_{\rm max}=n-1$ среднее значение расстояния электрона от ядра, определенное по законам квантовой механики, совпадает с радиусом орбиты электрона, соответствующим состоянию с заданным значением квантового числа n в теории Бора;
- в целом результаты, касающиеся характеристик возможных состояний электрона в рамках квантово-механического описания, существенно отличаются от результатов, предсказанных на основе теории Бора.

Лабораторная работа <u>Квантование энергии и волновые функции атома водорода</u>

Электронные облака атома водорода